

УДК 532.516

## Управление отрывом потока воздуха на цилиндре с помощью диэлектрического барьера разряда

Д. А. Редчиц

*Институт транспортных систем и технологий НАН Украины, Украина*

На основе физической модели диэлектрического барьера разряда построена математическая модель, описывающая нестационарные электро- и аэродинамические процессы при работе плазменного актуатора. Показана возможность уменьшения коэффициента сопротивления цилиндра с помощью плазменного актуатора за счет подавления вихревой дорожки Кармана. Данный подход применим к моделированию динамики низкоскоростных потоков жидкости и газа при наличии электростатического поля.

**Ключевые слова:** диэлектрический барьерный разряд, плазменный актуатор, уравнения Навье-Стокса.

На основі фізичної моделі діелектричного бар'єрного розряду побудована математична модель, що описує нестационарні електро- і аеродинамічні процеси при роботі плазмового актуатора. Показана можливість зменшення коефіцієнта опору циліндра за допомогою плазмового актуатора за рахунок придушення вихровий доріжки Кармана. Даний підхід застосовується для моделювання динаміки низькошвидкісних потоків рідини і газу при наявності електростатичного поля.

**Ключові слова:** діелектричний бар'єрний розряд, плазмовий актуатор, рівняння Навье-Стокса.

Based on a physical model of the dielectric barrier discharge, a mathematical model which describing the transient electric and aerodynamic processes in the operation of the plasma actuator was built. The possibility to reduce the drag coefficient of the cylinder using plasma actuators by suppressing Karman vortex street was shown. This approach is applicable to the simulation of the dynamics of low-speed gas and liquid flows in the presence of an electrostatic field.

**Key words:** dielectric barrier discharge, plasma actuator, Navier-Stokes equations.

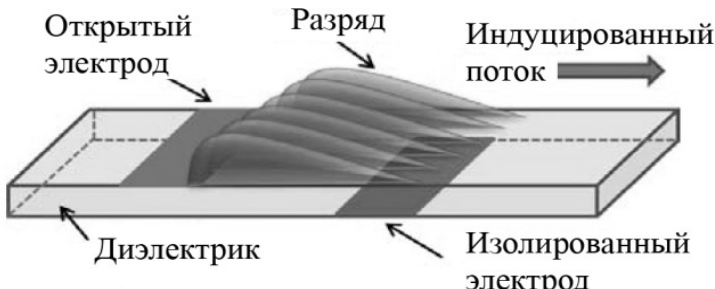
### 1. Введение

Управление дозвуковыми потоками воздуха представляет значительный интерес в связи с перспективами развития наземного транспорта, авиации, ветроэнергетики, создании новых типов газовых турбин и других механизмов. Одним из возможных методов воздействия на ламинарный или турбулентный поток воздуха без применения расходных материалов является применение плазменного актуатора (ПА) [2-4].

Плазменный актуатор состоит из двух расположенных существенно асимметрично электродов, которые разделены диэлектриком (рис. 1). Один из электродов открытый и контактирует с воздухом, а другой – полностью погружен в диэлектрический материал. Электроды располагаются на аэродинамической поверхности вдоль размаха рассматриваемого обтекаемого тела и являются, как правило, длинными и тонкими.

Среди методов плазменного управления структурой течения воздуха диэлектрический барьерный разряд (ДБР) рассматривается как один из перспективных для практического применения, так как он отличается

устойчивой работой при атмосферном давлении без свертывания разряда в сжатую дугу. Диэлектрический барьерный разряд – это электрический разряд в газовой среде, возникающий между двумя электродами, один или оба из которых покрыты диэлектриком (рис. 1).



*Рис.1. Схема линейного плазменного актуатора [4]*

Изучению низкотемпературной неравновесной плазмы ДБР при работе ПА посвящено большое количество экспериментальных [2-5, 9] и теоретических [3, 4, 6, 7, 8, 9, 12, 14, 16, 17] работ. Исследования проводились в двух основных направлениях: первое – исследование физики одиночного ДБР при работе плазменного актуатора, а второе – оптимизация плазменных актуаторов для увеличения их эффективности по управлению дозвуковым потоком воздуха. Несмотря на успешную демонстрацию возможностей ДБР при работе ПА для управления потоком и кажущуюся простоту устройства, фундаментальное понимание физики их действия является неполным.

К настоящему времени выработано общее представление о взаимодействии между электрическим полем, заряженными частицами плазмы и несущей средой. В результате воздействия электромагнитного поля плазменного актуатора на заряженные частицы возникает массовая сила (сила Лоренца), которая приводит к передаче импульса окружающему воздуху.

Однако существуют значительные разногласия по поводу структуры образующейся плазмы, которые крайне важны для описания физики и принципа работы ДБР. Сложность измерений физических свойств плазмы обусловлена различием геометрических масштабов и существенной ролью переходных процессов. Небольшие размеры плазменной области, а также скоротечность процессов при ДБР не позволяют производить прямые измерения плотности заряженных частиц, а также нейтральных атомов и молекул.

Использование ПА для управления потоком дает ряд преимуществ перед механическими системами. Они целиком электронные, просты в своей конструкции, не имеют подвижных частей, обладают низкой инерционностью и возможностью интеграции в поверхность, а также могут располагаться на очень тонких поверхностях.

Плазменные актуаторы успешно использовались в различных приложениях по управлению потоком, таких как: порождение неустойчивости пограничного слоя на остром конусе при числе Маха 3,5 [3], увеличение подъемной силы на элементах крыла [2], управление отрывом потока на лопатках турбины низкого

давления, управление потоком на плохо обтекаемом теле, снижение сопротивления, нестационарное генерирование вихрей, управление отрывом потока с передней кромки профиля.

На сегодняшний день, несмотря на многочисленные экспериментальные исследования воздействия плазмы на окружающий ее воздух, отсутствует общая теория взаимодействия, которая основывалась бы на плазменных и аэродинамических процессах. Данный факт объясняется недостатком полной информации по многим химическим реакциям, возникающим в результате воздействия ДБР на воздух, а также скорости их протекания.

Анализ плазменных и аэродинамических времен является ключевым моментом в понимании процессов, происходящих при управлении потоком. В случае обтекания тела воздухом в качестве характерных масштабов длины и времени принимаются геометрические характеристики тела (например, длина) и время, за которое воздух пройдет это расстояние.

Если рассматривать плазму в воздухе, возникающую при ДБР, то кроме указанных выше возникают характерные времена, связанные со скоростью протекания химических реакций, а также с релаксацией объемного заряда и другими процессами, происходящими в плазме.

Минимальный масштаб времени соответствует релаксации объемного заряда (установлению электронейтральности плазмы) и находится в диапазоне  $10^{-11} \div 10^{-9}$  с. Максимальное характерное время соответствует времени пролета молекул воздуха над обтекаемым телом  $10^{-3} \div 10^{-1}$  с. Существенное различие во времени аэродинамических процессов ( $\tau \sim 10^{-1}$  с) и процессов, происходящих при электрическом разряде ( $\tau \sim 10^{-11}$  с), не дает возможности провести прямое численное моделирование рассматриваемых процессов при ДБР, даже с использованием современных суперкомпьютеров ни в настоящее время, ни в обозримом будущем. Поэтому для моделирования этих процессов применяются различные модели плазменного воздействия на поток.

Несмотря на значительный прогресс в понимании структуры и свойств ДБР, возникающего при низком давлении, теоретическое описание поведения барьерного разряда в воздухе при высоком (атмосферном) давлении является ограниченным.

Теоретические исследования ДБР опираются, как правило, на математические модели низкого уровня с использованием многочисленных эмпирических констант, значения которых зависят от конкретного вида течений. Несмотря на преимущества ПА на основе ДБР их применение пока еще ограничено лабораторным уровнем без широкого внедрения в современную технику.

Количество вычислительных экспериментов по управлению потоком с помощью ПА невелико по сравнению с экспериментальными исследованиями. Одна из первых моделей была разработана Massines [9]. Одномерная модель основана на одновременном решении уравнения неразрывности для заряженных частиц и уравнении Пуассона. Исследование позволило получить пространственно–временное распределение для плазмы. Показано, что

исследуемые процессы характеризуются коэффициентом диффузии и константой скорости ионизации.

D. Orlov и T. Corke [2] провели моделирование ПА, используя модель схемы с сосредоточенными параметрами. K. Hall [6] для моделирования воздействия плазменного актуатора на воздух применил модель потенциального течения. В работах W. Shyy [14] действие ПА на внешний поток учитывается через осредненную по времени силу Лоренца, которая распределена в треугольной области, расположенной выше изолированного электрода. Один из главных недостатков данной модели заключается в расчете электрического поля, основана на предположении, что напряженность электрического поля понижается линейно при удалении от грани электродов. Как показали недавние измерения, это предположение не соответствует физике процесса разряда.

Известны математические модели, разработанные для диэлектрического барьера разряда в воздухе, которые включают 20–30 уравнений для химических реакций с различными скоростями протекания и объемом выделяемой энергии. Эти уравнения учитывают взаимодействие между электронами, ионами и нейтральными атомами в различных газах, которые присутствуют в воздухе. Данные модели разработаны для диэлектрического барьера разряда в одномерной постановке и требуют значительных вычислительных затрат. G. Font [5] использовал эти идеи для моделирования плазменного разряда в асимметричном плазменном актуаторе. Основываясь на экспериментальных данных C. Enloe [5], в эти модели G. Font включил реакции для азота и кислорода.

Существует также группа упрощенных моделей, в которых не рассматриваются химические реакции, но газ представляется как смесь ионов, электронов и нейтральных молекул. Эти модели вначале описывали разряд в одномерной постановке, а затем были расширены на двумерный случай ДБР.

Likhanskii [8] моделировал слабо ионизованную воздушно-плазменную среду как смесь нейтральных молекул, электронов, положительных и отрицательных ионов, учитывая процессы ионизации и рекомбинации. Результаты расчетов показали особую важность присутствия отрицательных ионов в воздухе. Roy и Gaitonde [12] моделировали диэлектрический барьерный разряд при атмосферном давлении, решая уравнения неразрывности, импульса заряда, электрического поля и распределения потенциала. В их подходе в качестве газа–носителя использовался гелий, так как для него известны химические реакции и коэффициенты для плазмы. Поскольку все вышеперечисленные модели строго описывают процессы, протекающие в плазменном разряде, они очень трудоемкие и при реализации требуют значительных вычислительных ресурсов.

В результате проведенных экспериментов установлено, что для эффективного управления отрывом потока необходимо учитывать геометрические и эксплуатационные характеристики ПА. К ним относятся: расположение актуатора на поверхности обтекаемого тела, ориентация, геометрические размеры, относительное смещение изолированного и открытого электродов, приложенное напряжение и его частоты. Влияние перечисленных выше параметров на работу ПА превращает оптимизацию данных устройств на

основе экспериментальных исследований в весьма трудоемкую, сложную и дорогостоящую задачу. Применение вычислительной гидродинамики (CFD) дает возможность существенно сэкономить временные и финансовые затраты на оптимизацию таких комплексных систем управления потоком.

**Целью работы** является разработка подхода к моделированию ДБР при работе ПА в подвижной сплошной среде.

## 2. Постановка задачи

В настоящей работе рассматривается частично ионизированная квазинейтральная идеальная низкотемпературная неравновесная плазма, генерируемая диэлектрическим барьерным разрядом при работе плазменного актуатора в сплошной вязкой среде.

*Исходные уравнения динамики вязкой несжимаемой жидкости.* При малых скоростях воздуха (локальные числа Маха  $M < 0.3$ ) эффектами сжимаемости пренебрегают, и воздух можно рассматривать как несжимаемую жидкость. Процессы динамики вязкой несжимаемой жидкости описываются осредненными по Рейнольдсу уравнениями Навье–Стокса с учетом массовых сил.

*Моделирование турбулентности.* Для замыкания осредненных по Рейнольдсу уравнений Навье–Стокса используется дифференциальная однопараметрическая модель Spalart–Allmaras, адаптированная к тензору скоростей деформаций (Strain-Adaptive Linear Spalart–Allmaras Model – SALSA) [13], которая разработана для задач внешней дозвуковой аэrodинамики и является развитием оригинальной модели Spalart–Allmaras [15].

*Начальные и граничные условия для уравнений динамики вязкой несжимаемой жидкости.* В качестве начальных условий задавались параметры невозмущенного потока во всей расчетной области. На внешней границе применялись неотражающие граничные условия, для расчета которых использовался метод характеристик [18]. На поверхности твердого тела ставилось условие прилипания.

*Исходная система уравнений электродинамики.* Для данного класса задач плазму можно рассматривать как ионизированный квазинейтральный газ [16]. В общем случае она может быть описана четырьмя уравнениями Максвелла. Можно полагать [16], что заряды в плазме имеют достаточно времени (по сравнению с гидродинамическим временем) для перераспределения в области и система становится квазистационарной. В этом случае электрический ток, напряженность магнитного поля и магнитная индукция равны нулю. К тому же производные по времени электрической индукции и магнитной индукции равны нулю. Принимая во внимание вышеизложенное, из системы уравнений Максвелла остаются только два уравнения, представляющие собой закон Гаусса для электрической индукции и уравнение для электрического потенциала.

*Начальные и граничные условия для исходной системы уравнений электродинамики.* В качестве начальных условий задавалось нулевое распределение электрического потенциала и плотности зарядов в области. Уравнение для электрического потенциала решается, используя приложенное напряжение к электродам как граничное условие, а также соответствующие значения относительной диэлектрической проницаемости для воздуха и

диелектрика. На границе раздела сред используется среднее значение относительной диэлектрической проницаемости [16]. Переменное напряжение прикладывается к открытому (верхнему) электроду, а к изолированному электроду – нулевой потенциал. На внешних границах ставится условие Неймана [16]. Нормальный градиент для плотности результирующего заряда на поверхности твердого тела полагался равным нулю, за исключением области над изолированным электродом. На внешней границе плотность результирующего заряда равнялась нулю.

### 3. Численный метод

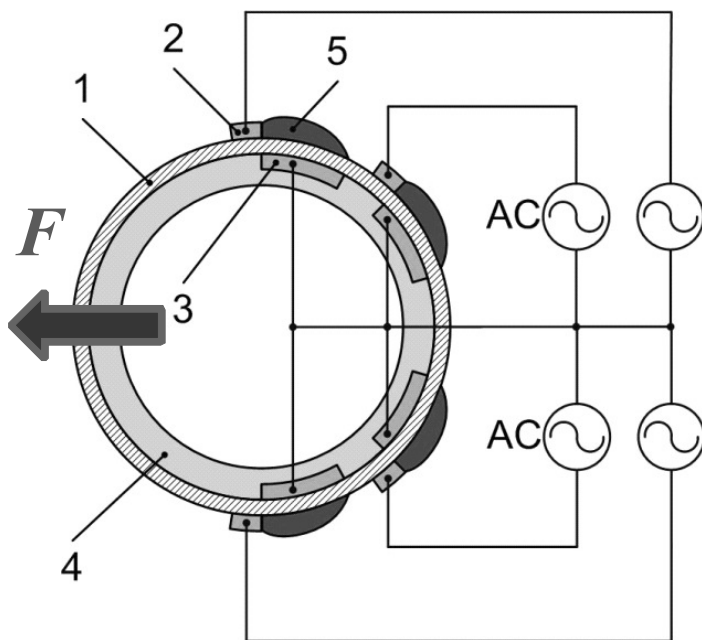
Разработан специализированный пакет вычислительной гидродинамики (CFD) на основе уравнений Навье–Стокса для расчета стационарных и нестационарных ламинарных и турбулентных течений. Для моделирования ДБР при работе ПА дополнительно решались два уравнения, описывающие распределение приложенного напряжения и плотности заряженных частиц, которые были интегрированы в разработанный CFD пакет. Воздействие ДБР на окружающую среду осуществлялось через силу Лоренца, входящую как источниковый член в уравнения Навье–Стокса.

Система исходных уравнений гидродинамики и электродинамики записывалась относительно произвольной криволинейной системы координат в безразмерном виде. Интегрирование уравнений плазменной аэродинамики осуществлялось численно с использованием метода контрольного объема. Для конвективных потоков в уравнениях гидродинамики использовалась противопоточная аппроксимация Rogers–Kwak [11], основанная на схеме Roe [10], третьего порядка точности.

### 4. Результаты и обсуждение

*Плазменный актуатор на цилиндре.* Для решения задачи об управлении отрывом потока рассматриваются плазменные актуаторы, расположенные на цилиндре. Все исходные данные для настоящей работы взяты из [17]. Модель представляет собой цилиндр, сделанный из кварца ( $D = 100$  мм), с четырьмя плазменными актуаторами, расположенными как показано на рис. 2. К плазменным актуаторам прикладывается переменное напряжение  $\phi = 11.5$  кВ частотой 10 кГц. Стенки цилиндра сделаны в форме диэлектрического барьера толщиной 2.5 мм. Открытый электрод изготовлен из медной фольги шириной 5.6 мм и толщиной 0.04 мм. Ширина изолированного электрода 25.4 мм, а толщина – 0.04 мм. Внутренний диэлектрик представляет собой 5 слоев каптона толщиной 0.125 мм. В настоящей работе математическое моделирование ДБР при работе плазменного актуатора проводилось в безразмерном виде.

В результате проведенного численного эксперимента получено распределение электрического потенциала и плотности заряженных частиц вблизи электродов и в области в целом (рис. 3). Максимальные значения плотности результирующего пространственного заряда наблюдаются в областях с максимальной напряженностью электрического поля.



*Рис. 2. Модель цилиндра с четырьмя плазменными актуаторами [17]*  
*(1 – цилиндр, 2 – открытый электрод, 3 – изолированный электрод, 4 – внутренний изолятор, 5 – области образования плазмы)*

В результате воздействия четырех плазменных актуаторов на покоящийся воздух образуется струя на тыльной стороне цилиндра (рис. 4). Движение воздуха приводит к падению давления в данной области, и струя прижимается к поверхности цилиндра. Возникает нечто подобное эффекту Коанда. В следе формируется реактивная струя, которая приводит к возникновению движущей силы.

Получено изменение во времени коэффициента движущей силы (сопротивления) цилиндра (рис. 5). Осредненный по времени коэффициент движущей силы равен -0.04.

Для развитой дорожки Кармана значения коэффициента давления находятся в зоне, обозначенной штриховыми линиями на рис. 11. Подавление вихревой дорожки Кармана с помощью плазменных актуаторов приводит к восстановлению донного давления и снижению лобового сопротивления (••• линия на рис. 11). В зависимости от числа Рейнольдса; режима обтекания цилиндра (ламинарное, переходное, турбулентное); интенсивности работы плазменных актуаторов значение коэффициента сопротивления  $C_D$  может уменьшаться от 5 до 40 раз.

Полученные результаты обтекания цилиндра для случая с выключенным и включенными плазменными актуаторами удовлетворительно совпадают с экспериментальными данными [17] (рис. 6-10).

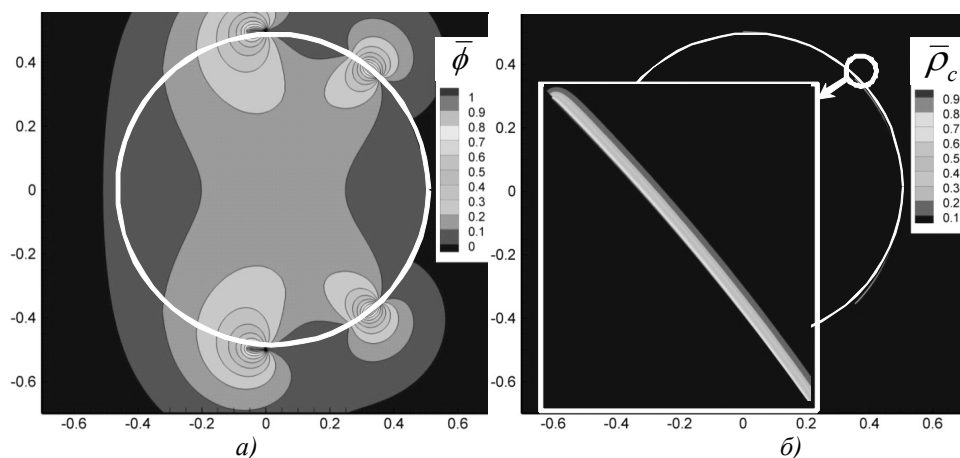


Рис. 3. Распределение электрического потенциала (а) и плотности заряженных частиц (б) в области

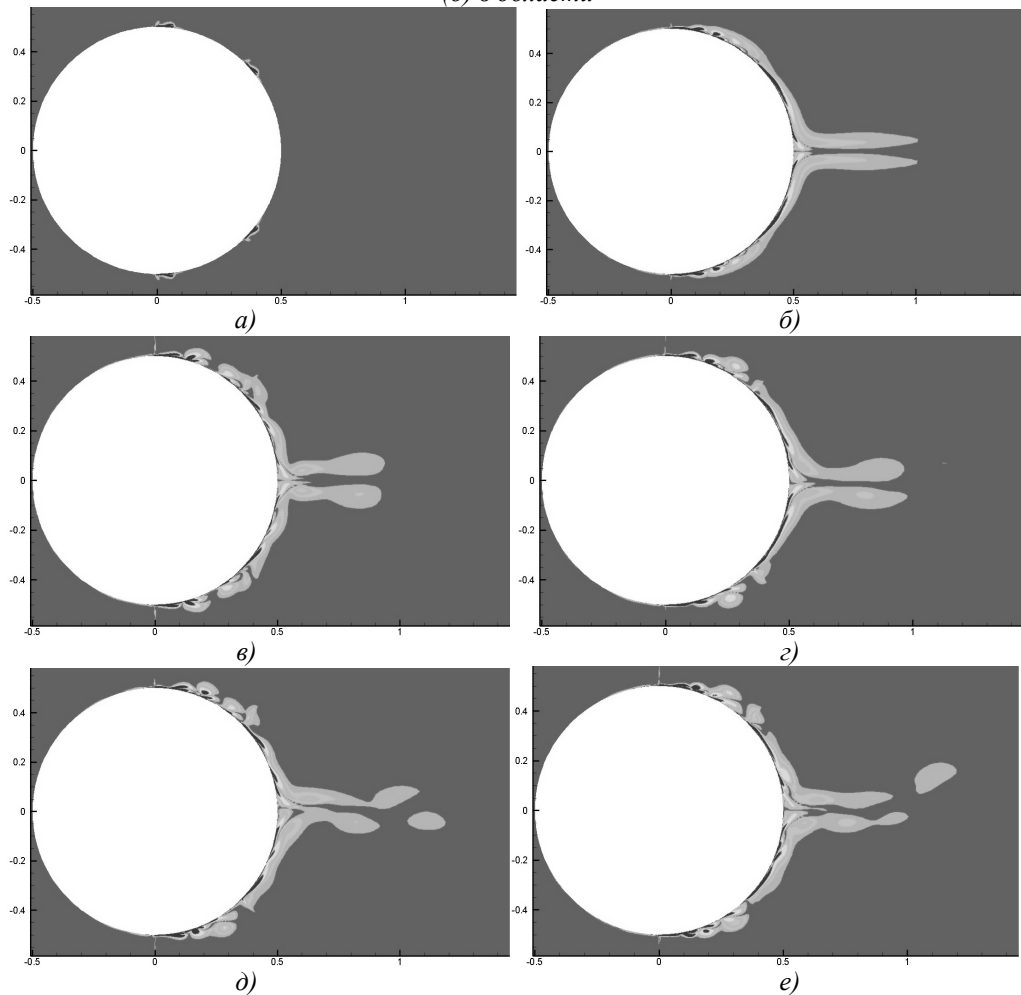
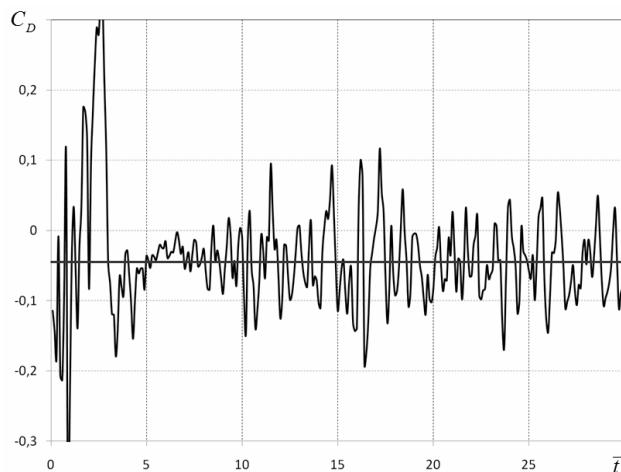


Рис. 4. Индуцированный плазменным актуатором поток воздуха на цилиндре а)  $t = 0$ ; б)  $t = 5$ ; в)  $t = 10$ ; г)  $t = 15$ ; д)  $t = 20$ ; е)  $t = 25$



*Рис. 5. Изменение во времени коэффициента движущей силы (сопротивления) цилиндра*

**Управление отрывом потока на цилиндре с помощью четырех плазменных актуаторов.** В настоящей работе проведено численное моделирование воздействия диэлектрического барьера разряда при работе четырех плазменных актуаторов на обтекающий цилиндр поток воздуха при числе Рейнольдса  $Re = 30000$ . Для визуализации структуры течения в эксперименте применялась дымовая визуализация потока, а в настоящей работе использовались изолинии модуля завихренности.

Турбулентное обтекание цилиндра характеризуется наличием в следе вихревой дорожки Кармана (рис. 6-9). Вследствие действия сил вязкости вблизи поверхности цилиндра частицы жидкости теряют часть кинетической энергии, которой уже недостаточно, чтобы преодолеть повышение давления в кормовой части цилиндра. Возле точки отрыва формируется возвратное течение, из которого развивается большой вихрь. Через некоторое время этот вихрь отрывается от тела и уплывает вниз по течению. В завихренной зоне позади кормовой части цилиндра, давление сильно понижено по сравнению с давлением в невозмущенном потоке. На некотором удалении за цилиндром формируется последовательность вихрей, вращающихся попаременно в разных направлениях.

Включение четырех плазменных актуаторов ( $\phi = 11.5$  кВ), расположенных на поверхности цилиндра  $\pm 90^\circ$ ,  $\pm 135^\circ$ , приводит к подавлению вихревой дорожки Кармана, и обтекание цилиндра носит присоединенный характер (рис. 10).

На рис. 11 приведены распределения коэффициента давления для различных режимов обтекания кругового цилиндра. Сплошная линия соответствует потенциальному бесциркуляционному обтеканию  $C_p = 1 - 4 \sin^2 \phi$  [1]. Здесь происходит полное восстановление донного давления, что в отсутствие сил трения приводит к парадоксу Даламбера – нулевой силе сопротивления. В вязких течениях трение вносит сравнительно небольшой непосредственный вклад в лобовое сопротивление, однако наличие трения ведет к отрыву потока и существенному перераспределению давления на поверхности цилиндра.

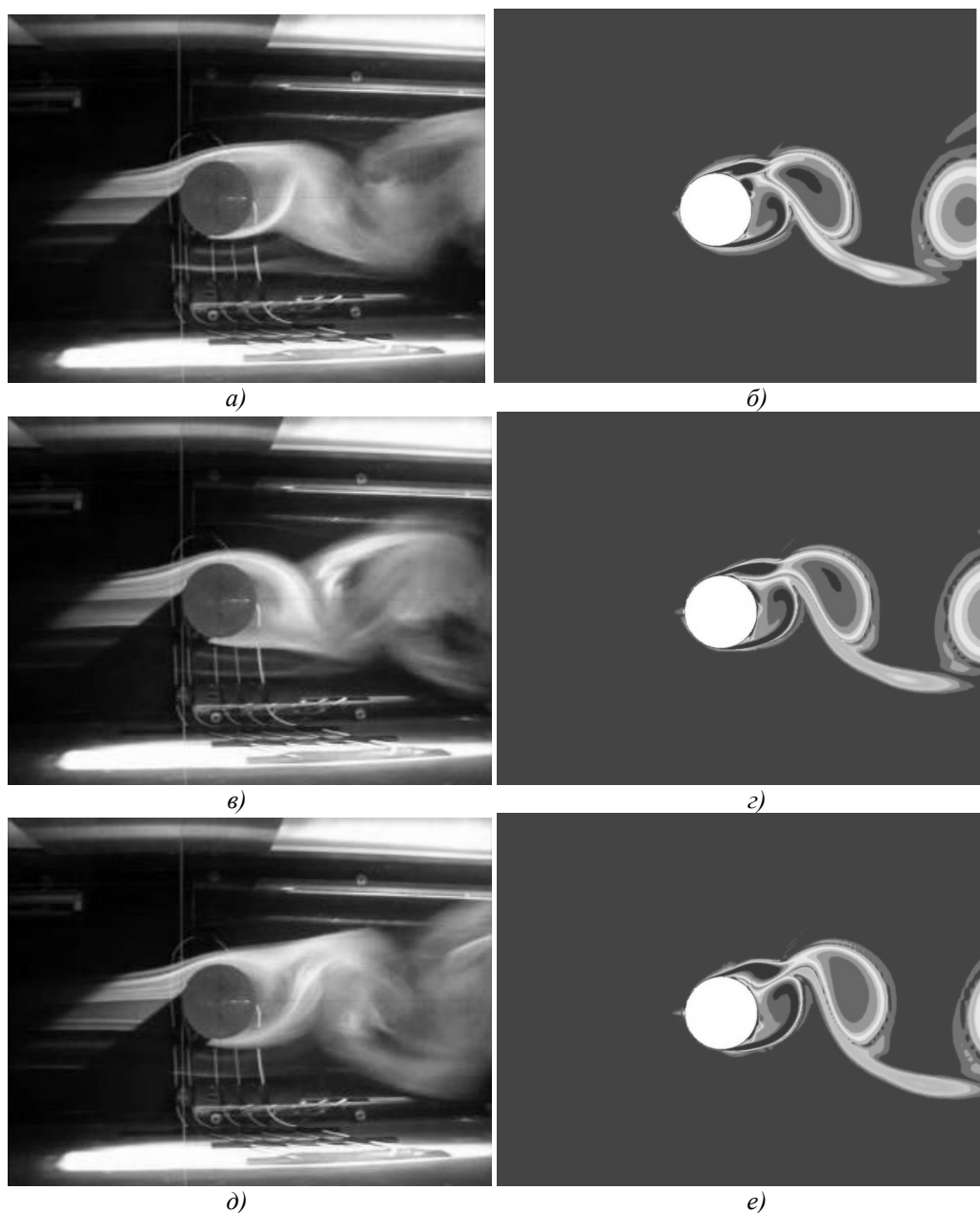


Рис. 6. Турбулентное обтекание цилиндра с выключенными плазменными актуаторами для моментов безразмерного времени  $t = 39.5$  (а, б),  $t = 39.6$  (в, г),  $t = 39.7$  (д, е) (а, в, д – эксперимент [17], б, г, е – настоящая работа)

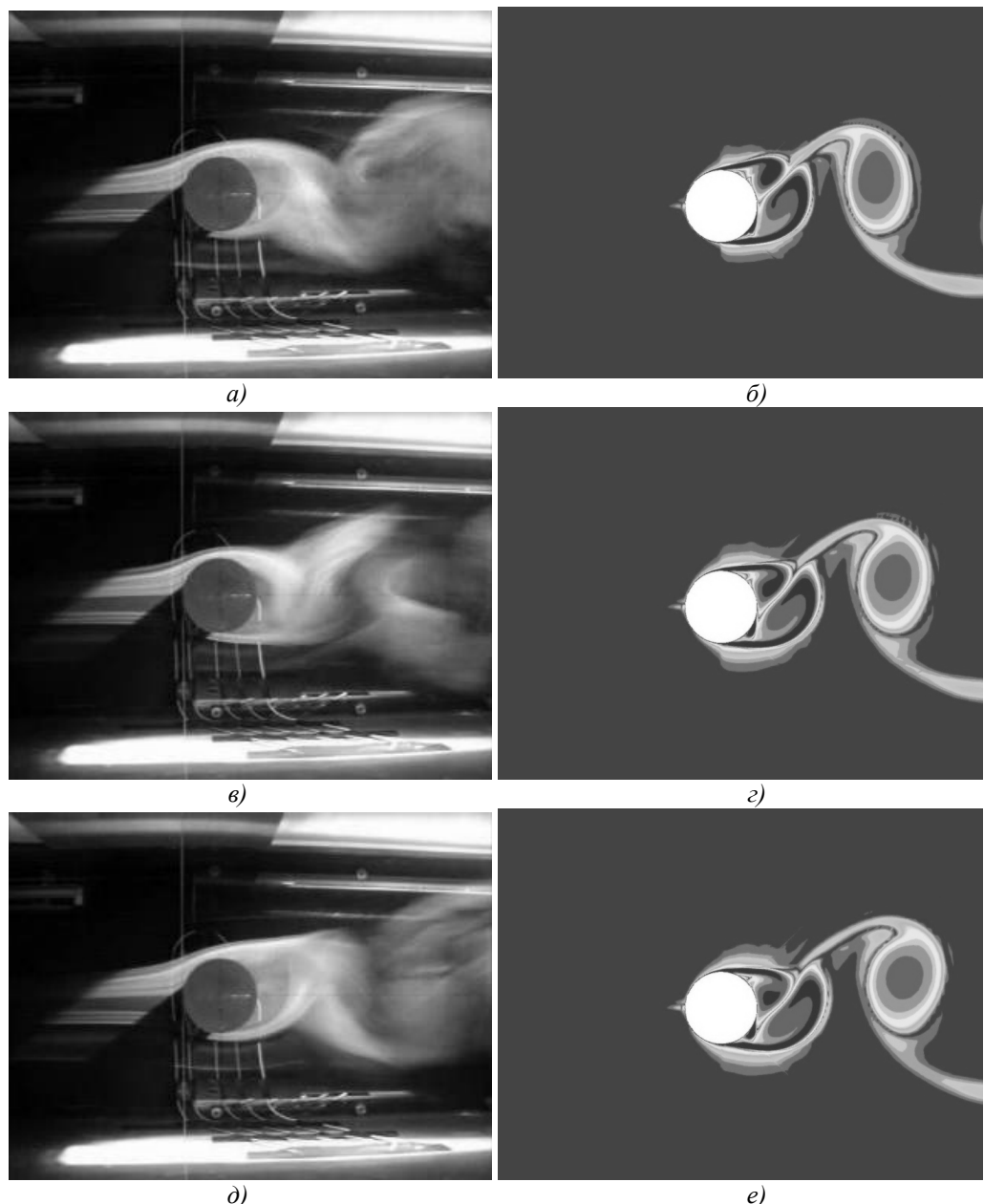


Рис. 7. Турбулентное обтекание цилиндра с выключенным плазменными актуаторами для моментов безразмерного времени  $t = 39.8$  (а, б),  $t = 39.9$  (в, г),  $t = 40.0$  (д, е) (а, в, д – эксперимент [17], б, г, е – настоящая работа)

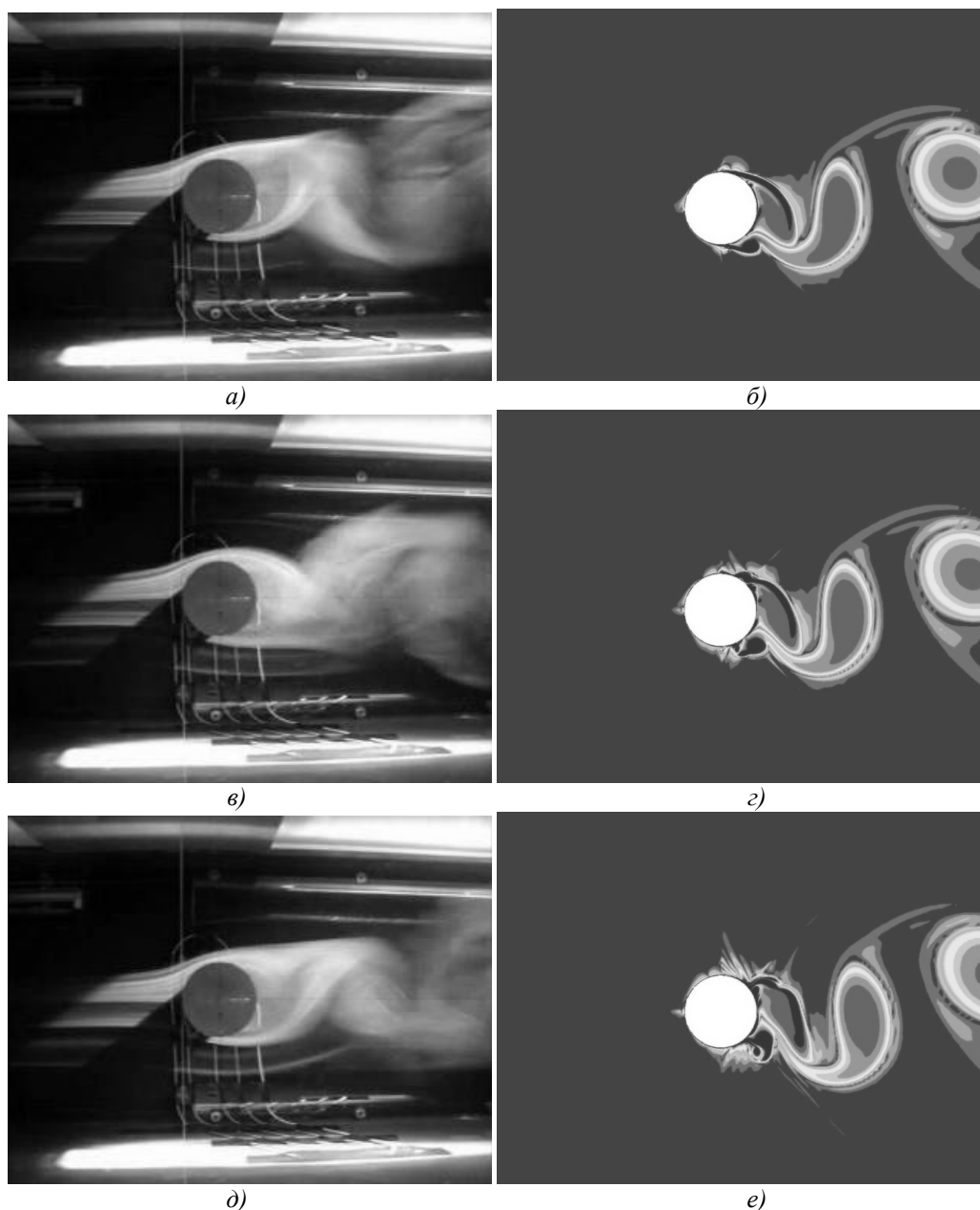


Рис. 8. Турбулентное обтекание цилиндра с включенными плазменными актуаторами для моментов безразмерного времени  $t = 40.1$  (а, б),  $t = 40.2$  (в, г),  $t = 40.3$  (д, е) (а, в, д – эксперимент [17], б, г, е – настоящая работа)

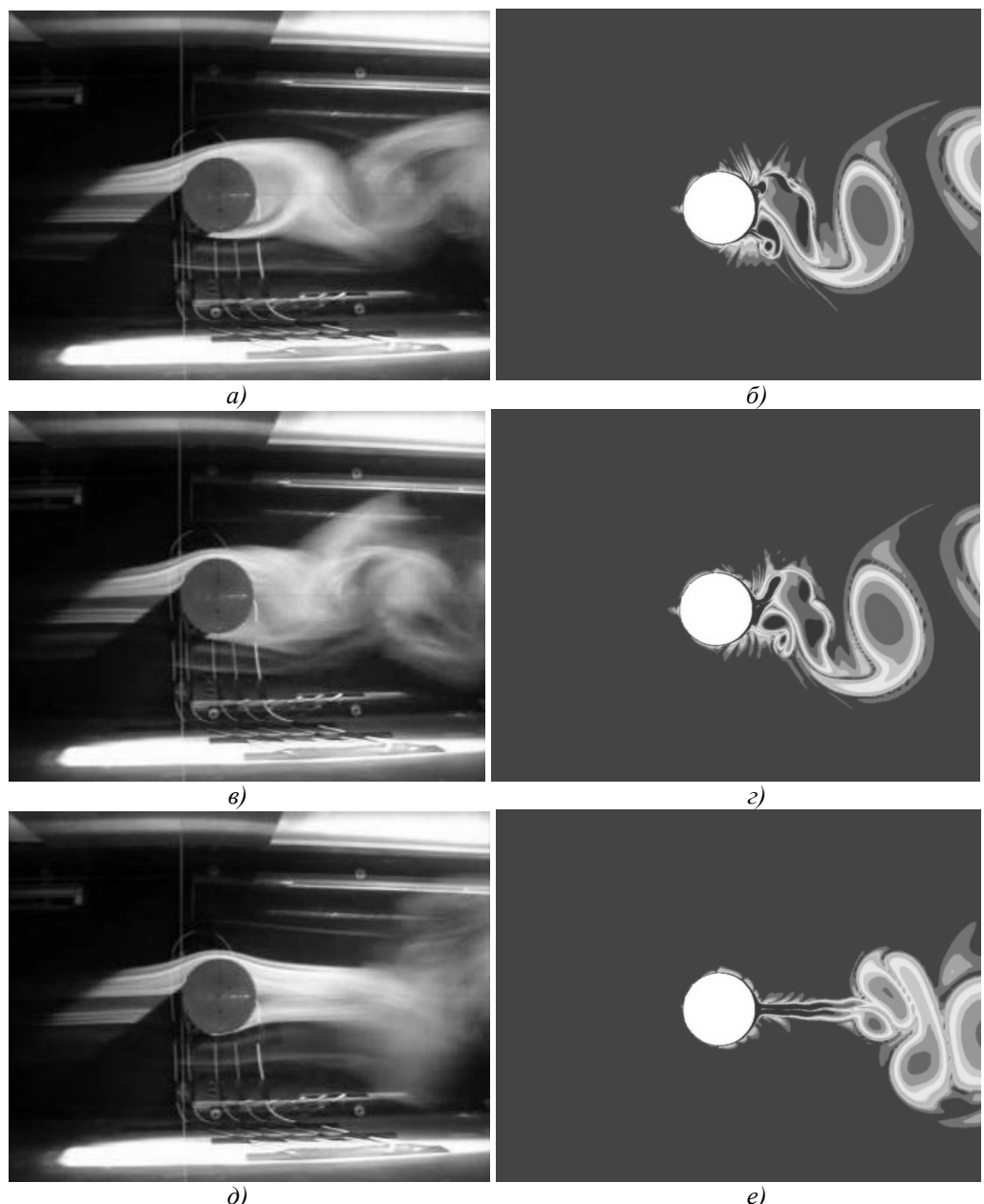


Рис. 9. Турбулентное обтекание цилиндра с включенными плазменными актуаторами для моментов безразмерного времени  $t = 40.4$  (а, б),  $t = 40.5$  (в, г),  $t = 41.0$  (д, е) (а, в, д – эксперимент [17], б, г, е – настоящая работа)

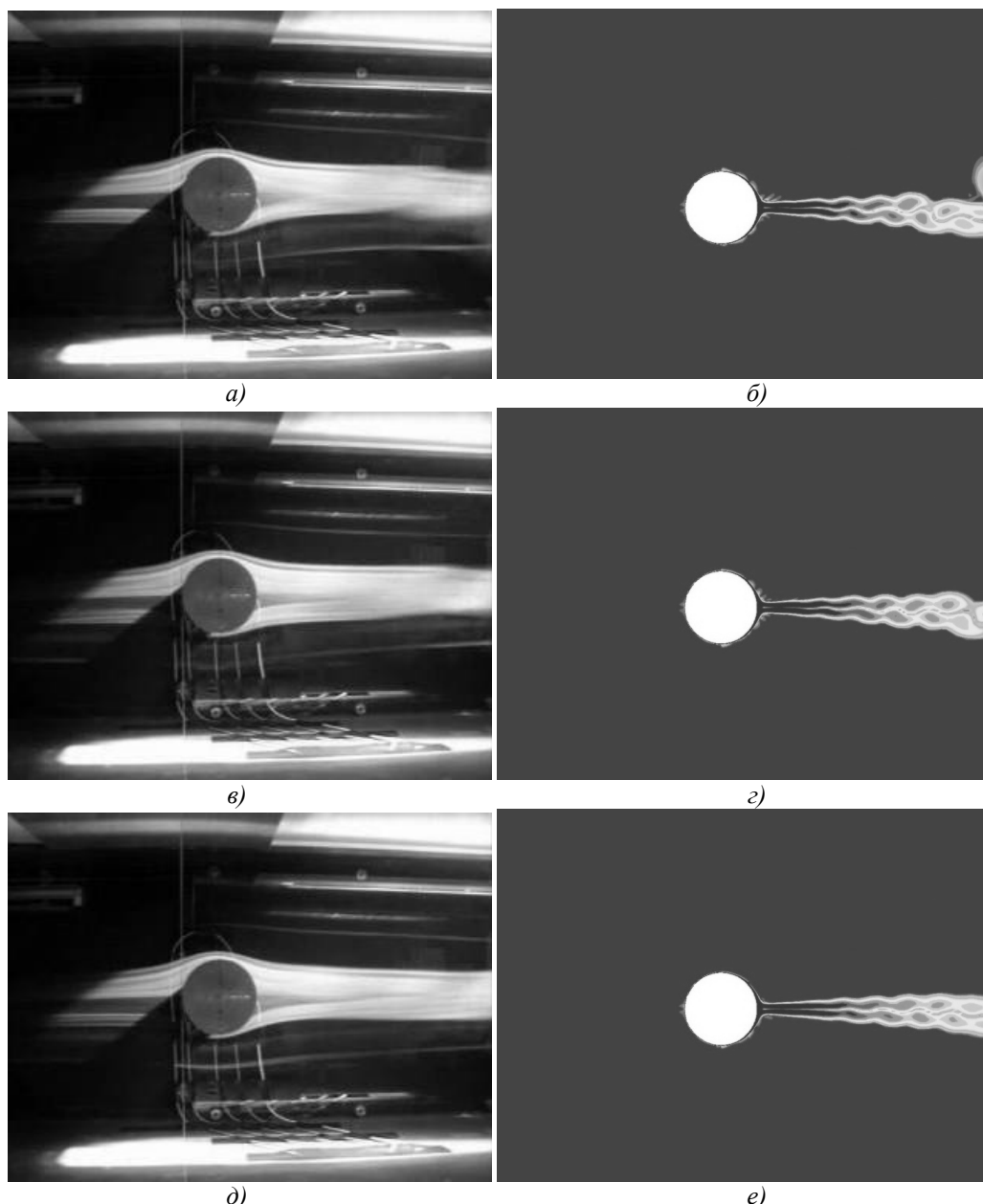


Рис. 10. Турбулентное обтекание цилиндра с включенными плазменными актуаторами для моментов безразмерного времени  $t = 42.0$  (а, б),  $t = 43.0$  (в, г),  $t = 44.0$  (д, е) (а, в, д – эксперимент [17], б, г, е – настоящая работа)

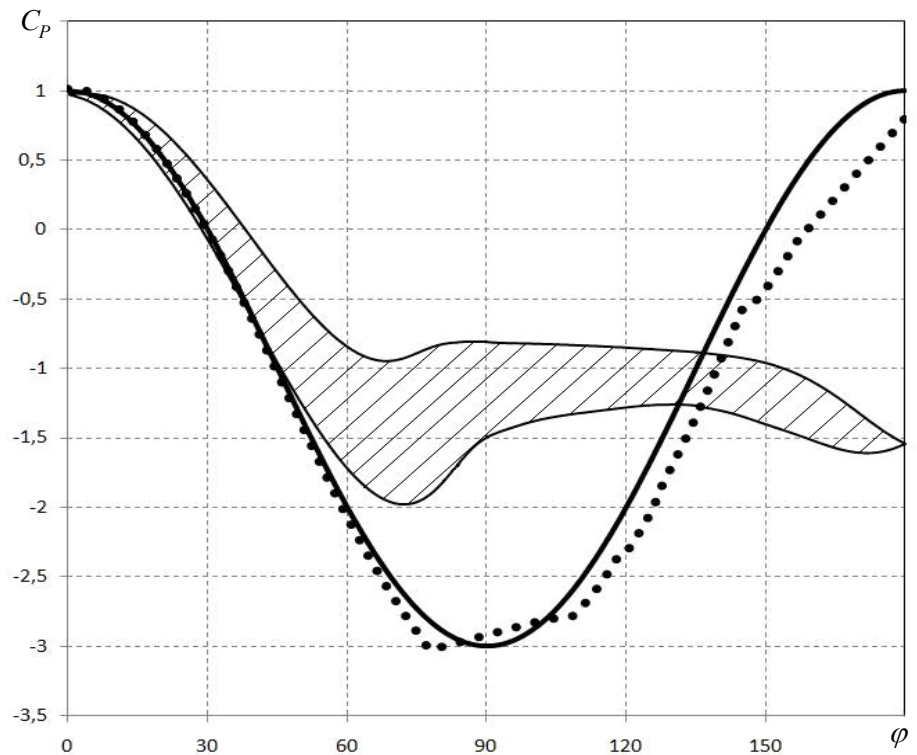


Рис. 11. Распределения коэффициента давления для различных режимов обтекания кругового цилиндра

## 5. Выводы

На основе физической модели диэлектрического барьерного разряда построена математическая модель, описывающая нестационарные электро- и аэродинамические процессы при работе плазменного актуатора. С помощью метода контрольного объема разработан численный алгоритм решения уравнений электродинамики плазмы вместе с уравнениями динамики вязкой несжимаемой жидкости, включая турбулентность, в криволинейной системе координат на подвижных сетках для моделирования диэлектрического барьерного разряда. На основе разработанного подхода выполнено моделирование возникновения движущей силы в результате воздействия диэлектрического барьерного разряда на цилиндр, находящийся в покоящемся воздухе. Показана возможность уменьшения коэффициента сопротивления цилиндра с помощью плазменного актуатора за счет подавления вихревой дорожки Кармана. Предложенная методика учитывает физические особенности рассматриваемого класса задач и обладает высокой вычислительной эффективностью. Данный подход применим к моделированию динамики низкоскоростных потоков жидкости и газа при наличии электростатического поля.

### ЛИТЕРАТУРА

1. Лойцянский Л.Г. Механика жидкости и газа. – М.: Наука, 1987. – 840 с.
2. Corke T. Application of weakly ionized plasmas as wing flow control devices / T. Corke, E. Jumper, M. Post, D. Orlov// AIAA Paper. – 2002. – № 350. – P. 15.
3. Corke T. Boundary Layer Instability on a Sharp Cone at Mach 3.5 with Controlled Input / T. Corke, D. Cavalieri, E. Matlis// AIAA Journal. – 2002. – Vol. 40, № 5. – P. 1015–1018.
4. Durscher R. Induced flow from serpentine plasma actuators acting in quiescent air/ R. Durscher, S. Roy // AIAA Paper. – 2011. – № 957. – P. 12.
5. Enloe C. Plasma structure in the aerodynamic plasma actuator/ C. Enloe, T. McLaughlin, R. VanDyken, J. Fuscher // AIAA Paper. – 2004. – № 844. – P. 9.
6. Font G. Plasma Discharges in Atmospheric Pressure Oxygen for Boundary Layer Separation Control / G. Font, W. L. Morgan // AIAA Paper. – 2005. – № 4632. – P. 16.
7. Hall K.D. Potential flow model for plasma actuation as a lift enhancement device / K.D. Hall// Master's thesis, University of Notre Dame, 2004.
8. Likhanskii A. Modeling of interaction between weakly ionized near surface plasmas and gas flow / A. Likhanskii, M. Shneider, S. Macheret, R. Miles//AIAAPaper.–2006. –№1204. –P.11.
9. Massines F. Experimental and theoretical study of a glow discharge at atmospheric pressure controlled by dielectric barrier / F. Massines, A. Rabehi, P. Decomps// Journal of Applied Physics. – 1998. – Vol. 83, № 6. – P. 2950–2957.
10. Roe P.L. Approximate riemann schemes / P.L. Roe // Journal of Computational Physics. – 1981. – Vol. 43. – P. 357–372.
11. Rogers S.E. Comparison of implicit schemes for the incompressible Navier–Stokes equations and artificial compressibility // AIAA Journal. – 1995. – Vol.33, № 11. – P. 2066–2072.
12. Roy S. Modeling surface discharge effects of atmospheric RF on gas flow control / S. Roy, D.V. Gaitonde// AIAA Paper. – 2005. – № 160. – P. 14.
13. Rung T. Restatement of the Spalart–Allmaras eddy–viscosity model in strain–adaptive formulation / T. Rung, U. Bunge, M. Schatz, F. Thiele // AIAA Journal.– 2003. – Vol.4, № 7. – P.1396–1399.
14. Shyy W. Modeling of glow discharge–induced fluid dynamics / W. Shyy, B. Jayaraman, A. Andersson// Journal of applied physics. – 2002. – Vol. 92. – P. 6434 – 6443.
15. Spalart P.R. A one–equation turbulence model for aerodynamic flow / P.R. Spalart, S.R. Allmaras // AIAA Paper. – 1992. – № 439. – P. 21.
16. Suzen Y.B. Numerical simulations of plasma based flow control applications/ Y.B. Suzen, P.G. Huang, J.D. Jacob// AIAA Paper. – 2005. – № 4633. – P. 14.
17. Thomas F.O. Numerical simulations of plasma based flow control applications/ F. O. Thomas, A. I. Kozlov, T. C. Corke // AIAA Paper. – 2006. – № 2845. – P. 16.
18. Whitfield D.L. Numerical solution of the two-dimensional time-dependent incompressible Euler equations / D.L. Whitfield, L.K. Taylor // Mississippi state university NACA-CR-195775. – 1994. – P. 65.